

PAPER DETAILS

TITLE: Akarçay Havzası`nda (Afyon) jeotermal kökenli kirlenme: 2. Yeraltisuyu kirliliği

AUTHORS: Müfit S DOĞDU,C Serdar BAYARI

PAGES: 35-49

ORIGINAL PDF URL: <https://dergipark.org.tr/tr/download/article-file/145513>



Akarçay Havzası'nda (Afyon) jeotermal kökenli kirlenme: 2. yeraltısuyu kirliliği

*Pollution of geothermal origin in the Akarçay Basin (Afyon, Turkey):
2. groundwater pollution*

Müfit Ş. DOĞDU, C. Serdar BAYARI

Hacettepe Üniversitesi, Jeoloji Mühendisliği Bölümü, 06532 Beytepe, ANKARA

ÖZ

Jeotermal kökenli yeraltısuları pek çok element açısından sağlığa ve çevreye zararlı derişime sahiptirler. Bu suların termal su akiferinden sızma, ya da termal su üretim kuyularından oluşan yeraltı kaçakları nedeniyle soğuk su akiferine karışması sulama ve içme kullanma suyu kalitesi açısından kirlenmeye neden olmaktadır. Bu çalışmada, Afyon-Akarçay Havzası'nda Ömer-Gecek, Gazlıgöl ve Heybeli jeotermal alanlarını kapsayan bölgedeki soğuk yeraltısuları jeotermal kökenli kirlenme açısından incelenmiştir. Hidrokimyasal değerlendirmeler, termal suların Na-Cl, soğuk sularının ise Ca-HCO₃ karakterli olduğunu göstermektedir. Termal su karışımının göstergesi olarak kullanılan Na+K, Cl, Li, B, sıcaklık ve elektriksel iletkenlik parametrelerinin alansal dağılımı soğuk yeraltısuyundaki kirlenmenin jeotermal alanlara yakınlık ile ilişkili olduğunu göstermiştir. Az sayıda tatlı yeraltısuyu üretim kuyusunda sulama, içme ve kullanma suyu kriterleri açısından jeotermal su katmasına bağlı kirlenmenin olduğu belirlenmiştir.

Anahtar kelimeler: Afyon-Akarçay, jeotermal, termal su, soğuk su, su kalitesi.

ABSTRACT

Geothermal groundwaters usually posses high concentrations of many elements that are potentially hazardous in terms of environmental pollution and public health. These waters may contaminate and eventually pollute the fresh and cool groundwaters upon seepage from thermal water aquifer or from the casing failures of production wells. In this study, pollution of cool groundwater due to geothermal contribution was investigated in the area comprising Ömer-Göcek, Gazlıgöl and Heybeli geothermal fields. Thermal and cool groundwaters are characterized by Na-Cl and Ca-HCO₃ facies, respectively. Spatial distribution of Na+K, Cl, Li, B, temperature and electrical conductivity, which were taken as the indicator of geothermal contribution, revealed that the pollution in cool groundwater was correlated with its proximity to the geothermal fields. A few cool groundwater wells posseses apparent degradation in terms of irrigation, drinking and potable water quality criteria.

Key words: Afyon-Akarçay, geothermal, thermal water, cool water, water quality.

GİRİŞ

Alp-Himalaya dağ oluşum kuşağı üzerinde bulunan Türkiye'de aktif tektonizmanın bir sonucu olarak termal su kaynakları oldukça geniş bir yayılıma sahiptirler. Erişen vd. (1996) tarafından gerçekleştirilen bir envanter çalışmasının sonuç-

larına göre Türkiye'de sıcaklığı 30°C'nin üzerinde bulunan termal su kaynakları 49 ilde, 149 jeotermal alanda yayılım göstermektedirler. Daha güncel bir çalışmada ise, mevcut jeotermal alanlarının sayısının 170'e ulaştığı belirtilmektedir (Batık vd., 2000). Bu sular; genellikle termal su tedavisinde kullanılmakta olup, son yıllarda mer-

kezi ısıtma, elektrik ve karbondioksit üretimi vb. amaçlarla da kullanılmaktadır. Tüm termal sular, kısmen magmatik kökenli, büyük oranda ise uzun süreli yeraltı dolaşımına sahip meteorik suların yüksek sıcaklık ve basınç koşulları altında mineraller ile uzun süre temas etmelerinin bir sonucu olarak yüksek element derişimlerine sahiptirler. Termal sularca içeren elementler, çevre ve insan sağlığı açısından hemen her zaman sınır değerlerin üzerinde derişimlere sahiptirler. Yerel jeolojik yapının bir sonucu olarak doğal yollarla, ya da sığ ve derin sondajlar aracılığı ile yüzeye çıkan bu sular yerkabuğu içerisindeki yükseltimleri sırasında değerli ve sınırlı bir kaynak olan tatlı yeraltısularına karışarak bunları kirletebilmektedirler. Öte yandan, Türkiye'deki tatlı yeraltısuyu kaynaklarının gerek iklimdeki kuraklaşma ve gerekse plansız ve aşırı çekim nedeniyle hızla tüketilmekte ve tarımsal, endüstriyel ve yaşamsal faaliyetlere bağlı olarak gittikçe artan hızda kirletilmekte olduğu da gözlenmektedir. Bu durumda, Türkiye'deki termal su kaynaklarının geniş yayılımı da dikkate alındığında, bunların tatlı yeraltısuyu üzerindeki kirleticili etkilerinin özenle araştırılmasının öncelikli bir sorun olduğu anlaşılmaktadır.

Bu çalışmaya konu olan Akarçay (Afyon) Havzası'ndaki Ömer-Gecek, Gazlıgöl ve Heybeli jeotermal alanlarındaki sular çeşitli amaçlarla kullanılmaktadır. Bölgede doğal yollarla yüzeye ulaşan termal suların yanı sıra, özellikle Afyon şehrinin ısıtılması ve kaplıcalarla su temini amacıyla yoğun olarak yapay termal su üretimi de yapılmaktadır. Aynı zamanda sulama amacıyla yeraltısuyu kullanımının da yaygın olduğu bu alanda termal yeraltısuyu kökenli kirleticilerin tatlı yeraltısuyu üzerindeki etkilerinin belirlenmesi, bu çalışmanın amacını oluşturmaktadır. Bu makalede, ayrıntısı Doğu (2001) tarafından belirtilen etkiler kısa ve öz olarak sunulmuştur. Termal suların havzayı drene eden ana akarsu olan Akarçay Nehri üzerindeki etkileri ise, diğer bir çalışmada (Doğu ve Bayarı, 2002) ele alınmıştır.

İNCELEME ALANININ KONUMU, JEOLOJİK VE HİDROJEOLOJİK YAPISI

İnceleme Alanının Konumu

İnceleme alanı; 30°-32° doğu boyamları ile 38°-39° kuzey enlemleri arasında, 7300 km²lik dre-

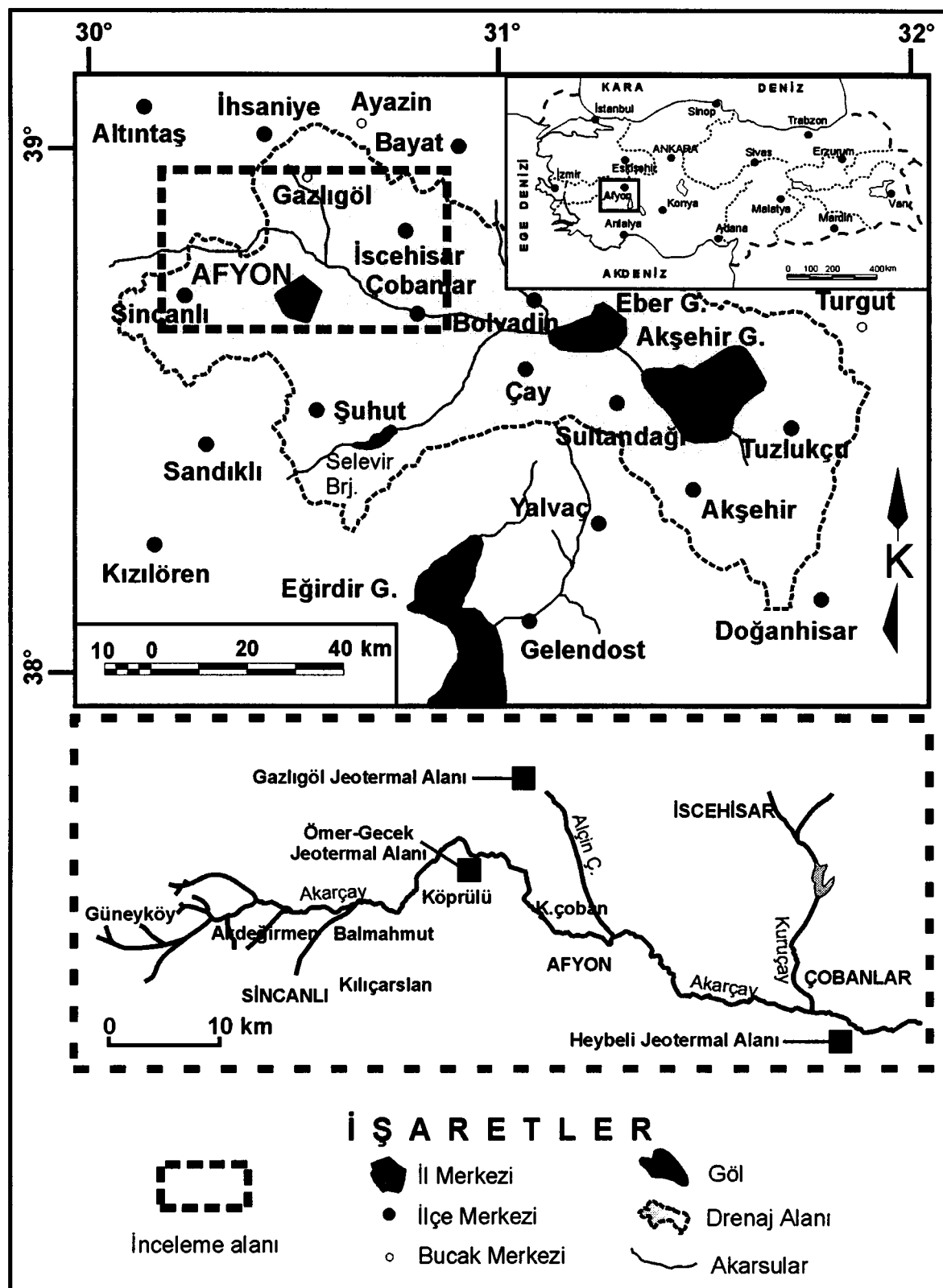
naj alanına sahip Akarçay Havzası'nın batısında yer alan Ömer-Gecek, Gazlıgöl ve Heybeli jeotermal alanları ve dolayını kapsamaktadır. Akarçay kapalı havzasını doğuda yer alan Eber ve akışaşağıındaki Akşehir Gölü'ne drene eden Akarçay Nehri kabaca batıdan doğuya uzanarak çalışma alanından geçmektedir (Şekil 1).

Jeoloji

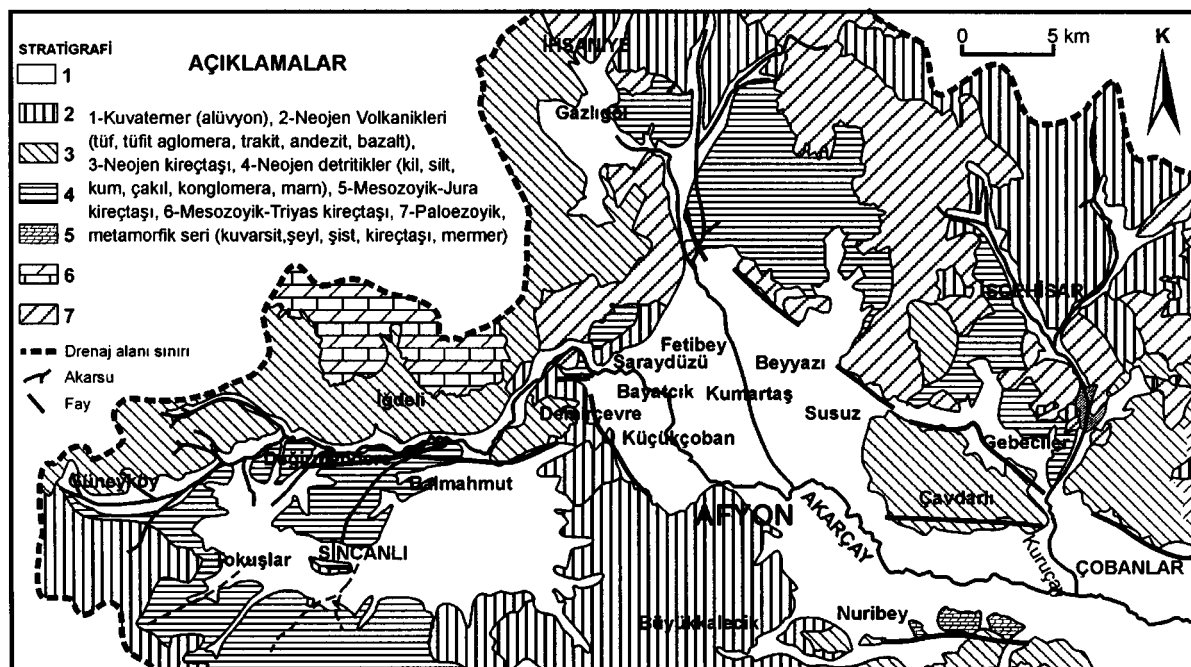
Havzanın jeolojisi DSİ ve MTA Genel Müdürlüğü'nce yapılan incelemeler ile ayrıntılı biçimde çalışılmış (Demirkol vd., 1977; DSİ, 1977; Metin vd., 1987, 1988; Umut vd., 1987; Öztürk vd., 1987); bölgesel jeolojik yapıya ilişkin ayrıntılı ve güncel bir derleme ise Tezcan (1998) tarafından hazırlanmıştır. Bu çalışmada kullanılan formasyon adları Metin vd. (1987;1988)'den alınmıştır.

Akarçay Havzası'ndaki jeolojik birimleri genel olarak 4 grup altında toplanabilir. İlk grup, inceleme alanının dışında, havzanın güney-güneydoğusunda geniş alanlar kaplayan Paleozoyik yaşılı metamorfik birimler (kuvarsit, şeyl, şist, kristalize kireçtaşı, mermer, (Şekil 2; 7 no.lu birim)) ile Mesozoyik yaşılı kireçtaşlarını (Şekil 2; 6 no.lu birim) içeren Toros kuşağından (Sultandağ kesimi) oluşmaktadır. İkinci grup ise inceleme alanının kuzey ve kuzeybatısında, havzanın kuzeybatı, kuzey ve kuzeydoğusunda yayılım gösteren İç Toros kuşağı (Afyon kesimi) olup, Paleozoyik (mermer, metakonglomera, kireçtaşı, kuvarsit - Şekil 2; 7 no.lu birim), Mesozoyik (kireçtaş, konglomera, kumtaşı, silttaş - Şekil 2; 5 ve 6 no.lu birimler) ve Senozoyik yaşılı (killi kireçtaş, konglomera-kumtaşı-silttaş) ve marn - Şekil 2; 3, 4 ve 5 no.lu birimler) birimlerinden oluşmaktadır. Üçüncü grubu oluşturan volkanik kayaçlar (Şekil 2; 2 no.lu birim), Afyon'un güney ve güneybatı ve kuzeydoğusundaki alanlarda gözlenen tuf, aglomera, andezit, trakit, traktiandezit ve bazaltları içermektedir. Dördüncü grup olarak, kum, çakıl ve kil gibi kıritılı malzemeden oluşan Kuvaterner'e ait birimler (Şekil 2; 1 no.lu birim) ise, havzanın orta bölgelerinde batıdan doğuya geniş alanlar kaplamaktadır.

Gerek bölgesel jeolojik araştırmalar ve gerekse derin termal su sondajlarından elde edilen verilere göre bu çalışmaya konu olan Ömer-Gecek, Gazlıgöl ve Heybeli jeotermal alanlarını kapsayan bölgede jeolojik istif tabanda Paleozoyik



Şekil 1. Çalışma alanı yer bulduru haritası.
Figure 1. Location map of the study area.



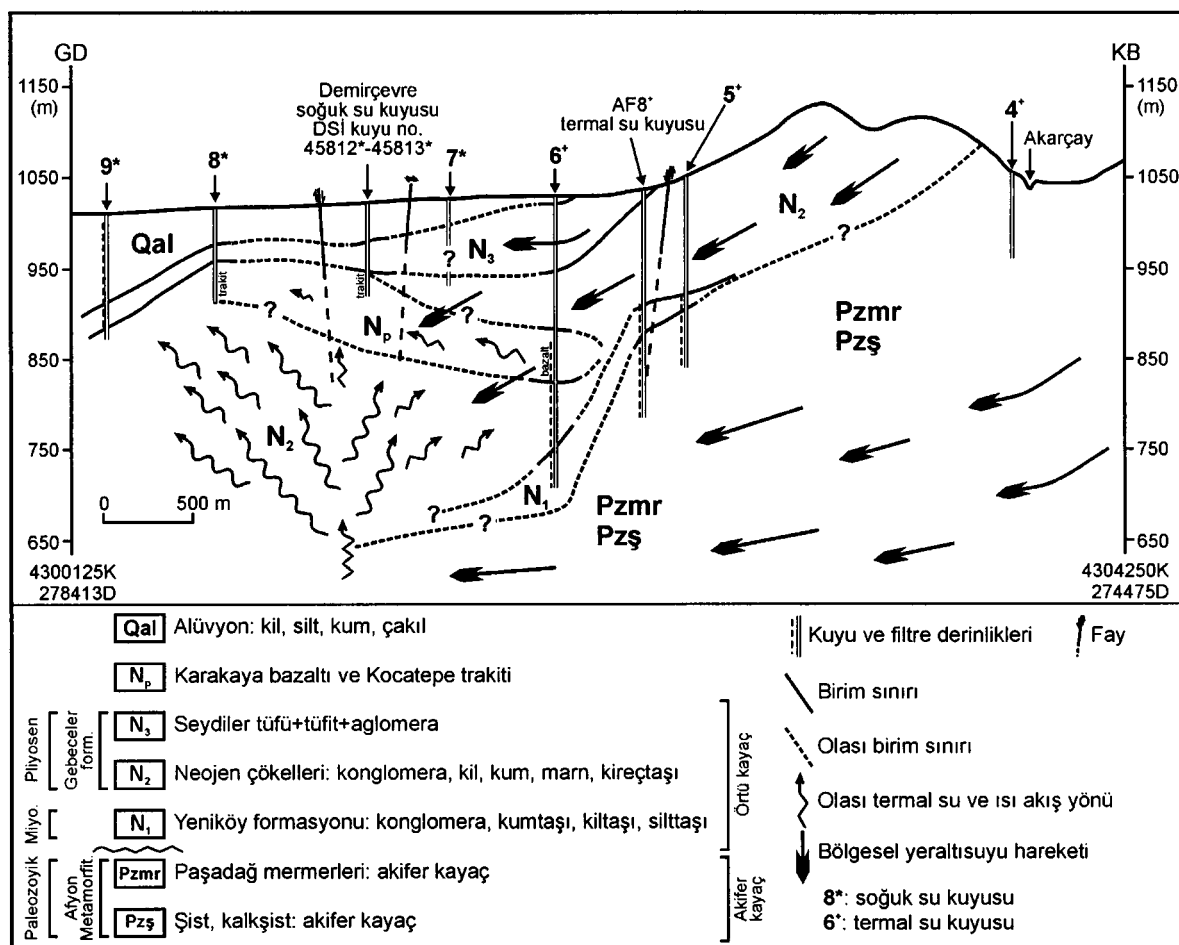
Şekil 2. İnceleme alanına ait jeoloji haritası (Tezcan, 1999'dan basitleştirilmiştir).
Figure 2. Geological map of the study area (simplified from Tezcan, 1999).

yaşlı Paşadağ Mermerleri ve bunlarla yer yer geçişli olan, çoğunlukla alta bulunan metamorfik şistler ile başlamaktadır. Kalınlığı 50-300 m arasında değişen ve erime boşullukları da içeren mermerler üzerinde Miyosen-Pliyosen yaşlı kil, silt, kum, killikum, kumtaşısı, killi kireçtaşı ve konglomeraları içeren çökeller uyumsuz olarak yer almaktadır (Mutlu, 1996). Gecek hamamı kuzeybatısında yüzeyleyen ve mermerlerin hemen üzerinde yer alan 35-40 m kalınlıktaki kırmızı konglomera sondajlarda termal su akiferine geçiş gösteren kılavuz seviyeyi oluşturmaktadır (Öktü vd., 1997). Konglomeralar üzerinde ortalamama kalınlığı 50 m olan killi kireçtaşı-kumtaşısı birimi yer almaktadır. Bu birimlerin üzerinde ise, Ömer-Gecek jeotermal alanının kuzeydoğusunda yüzeyleyen ve Neojen çökellerinin en üst seviyesini oluşturan zayıf tutturılmış konglomera ve breş birimleri bulunmaktadır. Çalışma alanında geç Miyosen-Pliyosen aralığındaki volkanik aktivitenin ürünü olan tuf, aglomera, andezit, traktit, trakiandezit ve bazalt birimleri de yer almaktadır, Karakaya Bazaltı ve Kocatepe Traktit alttaki tüm birimleri kesmektedirler (Mutlu, 1996). Kuvaterner yaşlı kil, kum, çakıl gibi çökellerden oluşan alüvyon ise, akarsu yatakları çevresinde ve havzanın doğusunda geniş alanlar

kaplamaktadır. Halen oluşumu devam etmekte olan traverten çökelleri ise Ömer-Gecek alanının batısında yüzeylemektedir.

Hidrojeoloji

Çalışma alanında açılan hemen her sondajda kesilen Paşadağ Mermerleri (Pzmr) ve şistler (Pzs) jeotermal sisteminin ana akifer kayacını oluşturmaktadır (Şekil 3). Ayrıca, temel kayaların yüzeye yakın olduğu kuzeybatı bölgesindeki alüvyon örtünün konglomera ve kumtaşısı seviyeleri de nispeten düşük sıcaklıklı suları içerebilmektedir (Tamgaç vd., 2000). Jeotermal akiferin örtü kayacını Miyosen yaşlı Yeniköy formasyonu içerisinde bulunan kilitaşı-silttaşlı seviyeleri, daha üstte yer alan Pliyosen yaşlı kil ve marn birimlerini de içeren Gebeceler formasyonu ile alüvyon içerisindeki killi-siltli seviyeler oluşturmaktadır. Çalışma alanına ait genelleştirilmiş yeraltısu dolaşım modeline göre (bknz. Şekil 3) termal su kuyuları Paleozoyik yaşlı mermer ve şistlerden beslenmekte, bu birimin üzerinde yer alan Neojen yaşlı seriler ise, örtü kayacı oluşturmaktadır. Öte yandan, örtü kayacın Paleozoyik yaşlı birimlere yaklaştığı derinliklere inen kuyulardan da (örn.: 6 no.lu 320 m derinlikteki



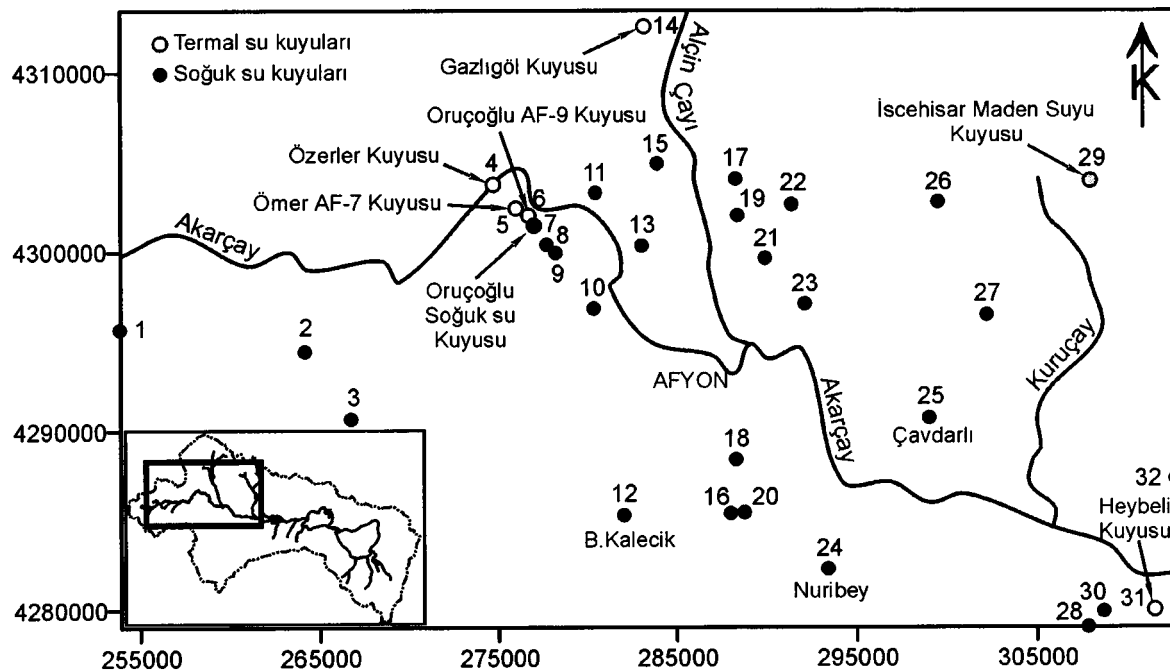
Şekil 3. Ömer-Gecek jeotermal alanı yakın çevresine ait genelleştirilmiş yeraltısuyu dolaşım modeli.

Figure 3. The generalized groundwater circulation model of Ömer-Gecek geothermal area and its vicinity.

AF9 kuyusu, bknz. Şekil 3) termal su üretimi yapılmamıştır. Ovadaki soğuk su kuyuları ise, alüvyonun yanı sıra, Neojen yaşlı serinin kumlu, çakılı bölgelerinden su almaktadır. Gerek soğuk su, gerekse termal su akiferlerinin beslenimi ovayı çevreleyen yükseltilerde yer alan jeolojik birimlerin su iletme yetisi yüksek bölümle rince sağlanmaktadır. Alüyon akiferin üst seviyelerinin hidrolik iletkenliği düşük olan malzemeden oluşması nedeniyle yüzeyden beslenim pratik olarak mümkün görülmemektedir (Tezcan, 2001). Diğer yandan, ileriki bölgelerde açıklanlığı gibi, termal su kuyuları civarında yer alan soğuk su kuyularının bir bölümne termal su katkısının olduğu fizikal ve kimyasal parametre değerlerinden anlaşılmaktadır. Bu konuya ilgili ayrıntılı değerlendirmeler Doğu (2001) tarafından verilmiştir.

VERİLER VE YÖNTEM

İnceleme kapsamında termal yeraltıollarının tatlı yeraltıolları üzerindeki etkisinin belirlenmesi amacıyla Afyon-K24 ve Afyon-K25 1/100000 ölçekli topografik paftaları içinde, 255⁰⁰⁰-310⁰⁰⁰ (UTM) doğu boyamları ile 4280⁰⁰⁰-4315⁰⁰⁰ kuzey enlemleri arasında yer alan, MTA, DSİ ve özel sektör tarafından açılmış bulunan 32 adet termal ve soğuk su kuyusundan alınan örneklerden elde edilen veriler değerlendirilmiştir (Şekil 4). Soğuk yeraltıollarından yağışlı dönemde çekim yapımaması nedeniyle inceleme kurak dönem (Temmuz 1999) verileri ile sınırlı tutulmuştur. Bununla birlikte, yeraltısuyunun fizikal ve kimyasal özelliklerinin yıl içinde önemli değişim göstermeye eğiliminden dolayı kurak döneme ait kimyasal değerlendirmelerin genel durumu güvenilir sınırlar içinde temsil ettiği düşünülmektedir.



Şekil 4. Yeraltısu örneklemeye noktaları.
Figure 4. Groundwater sampling points.

Çalışma kapsamında sıcaklık, elektriksel iletkenlik (El), pH ve çözünmüş oksijen (CO) ölçümleri kuyu başında yapılmış ve kimyasal analiz amaçlı örnekler polietilen şişelere alınmıştır. Ölçüm, örneklemme, örnek koruma ve analiz aşamalarında APHA vd. (1989) tarafından verilen standart yöntemler kullanılmıştır. Tüm örneklerde analiz kalitesi açısından anyon-katyon dengeinin $\pm 5\%$ ten iyi olduğu belirlenmiştir. Örneklerde ait majör iyon, iz element (Fe, Li, B, Br, As), N türevi (NO_2 , NO_3 , NH_3) derişimleri ile yerinde ölçüm sonuçları (sıcaklık, El ve CO) ve hesaplanan yüzde Na (%Na) ve sodyum adsorpsiyon oranı (SAO) değerleri Çizelge 1'de sunulmuştur.

HİDROKİMYASAL FASİYESLER

Alandaki termal yeraltısuları yüksek Na, Cl ve El değerleri ile tipik olup, bu parametrelerin en küçük ve en büyük değerleri sırasıyla 20.62-65.25 meq-Na/l, 5.00-53.00 meq-Cl/l ve 3596-7186 mikroS/cm olarak belirlenmiştir (bknz. Çizelge 1). Bu durumun tersine, termal su karışımından etkilenmeyen soğuk yeraltısuları ise, düşük Na, Cl ve EC, yüksek Ca, HCO_3+CO_3 değerleri ile karakteristikdir. Bu sularda söz konusu parametrelere açıdan en küçük ve en büyük değerler

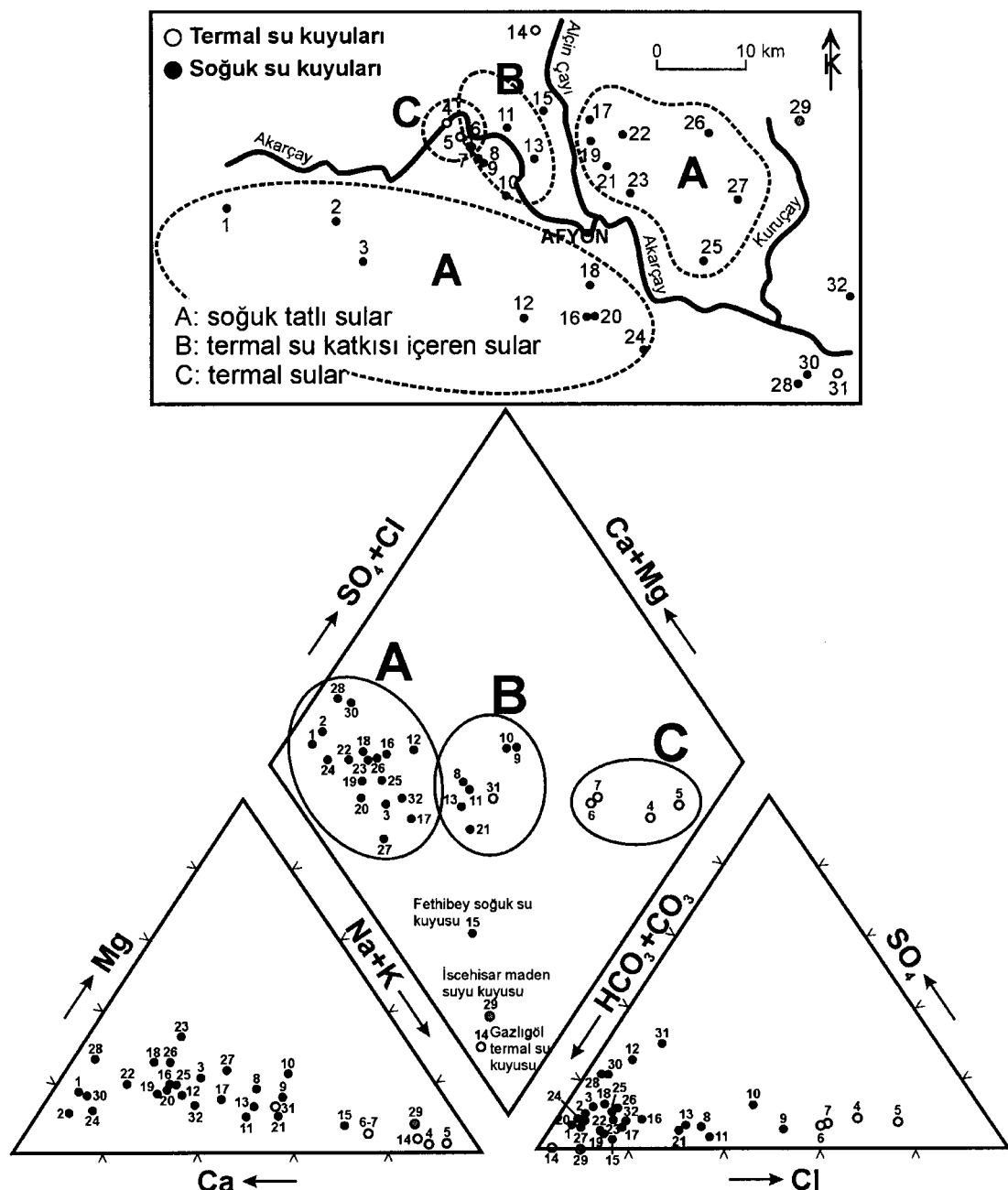
ise sırasıyla 0.22-6.45 meq-Na/l, 0.15-1.45 meq-Cl/l, 1.02-7.19 meq-Ca/l, 1.31-9.44 meq- HCO_3+CO_3 /l ve 202-1357 mikroS/cm olarak belirlenmiştir (bknz. Çizelge 1). Termal su karışımından etkilenen soğuk yeraltısularında ise bu parametrelerin 2.28-26.5 meq-Na/l, 1.75-22.00 meq-Cl/l, 604-3634 mikroS/cm şeklinde ara değerler aldıları görülmektedir.

Su örneklerinin majör iyon derişimlerine bağlı olarak Piper diyagramı üzerinde bulundukları konumlardan termal yeraltısularının Na-Cl (Şekil 5, C bölgesi), soğuk yeraltısularının ise Ca- CO_3 (Şekil 5, A bölgesi) fasiyes tipinde oldukları anlaşılmaktadır. Termal su karışımından etkilenen diğer soğuk yeraltısuları ise, etkilenme derecelerine bağlı olarak, bu iki fasiyes arasında farklı konumlar da yer aldıları görülmektedir (Şekil 5, B bölgesi). Na-Cl fasiyesi ile karakteristik olan termal yeraltısuları, derin termal su sondajlarının ve kaynaklarının yoğun olarak bulunduğu Ömer-Gecek bölgesinde yer almaktadırlar. Öte yandan, Ca- CO_3 fasiyesi ile tipik olan soğuk yeraltısuları Akarçay'ın güneyi ile kuzyede Alçin Çayı ve Kuruçay akarsuları arasında kalan bölümde yayılım göstermektedirler. Alçin Çayı'nın batısında, Ömer-Gecek bölgesine doğru uza-

Cizelge 1. Termal ve soğuk su kuyularına ait fiziksel ve kimyasal parametreler.
Table 1. Physical and chemical parameters of the thermal and cool water wells.

Örnek Numarası ve Örnekleme Yeri	Koordinat	Ej	CO	Derişim (meq/l)										(ug/l)	Kuvvet Dimitsiği (m)	Filtre Derinliği (m)										
				Enlem	Boylam	*C	(µS/cm)	pH	(mg/l)	Na	K	Ca	Mg	+CO ₃	Cl	SO ₄	SAR*	%Na**	NO ₃ +	NH ₄ -N	Fe	Li	B	Br	Mn	Al
1 Tokuslar (DSİ kuyu no:50544)*	253535 4285617 11.9	568	7.30	6.07	0.22	0.14	4.32	0.99	5.14	0.35	0.36	0.1	3.8	0.868	0.164	0.048	0.000	0.000	0.303	0.290	0.000	0.000	0.008	0.006	140	50-135; çakıl
2 Küçüktoyuk (DSİ kuyu no:11254)*	284211 4284356 10.6	692	7.24	8.56	0.35	0.10	5.64	0.82	5.84	0.45	0.73	0.2	5.0	1.256	0.034	0.000	0.000	0.383	0.367	0.000	0.000	0.006	0.006	175	kum-çakılı	
3 Ahmetpaşa (DSİ kuyu no:22312)*	286767 4280591 14.2	385	7.24	3.49	0.97	0.20	1.90	0.82	2.99	0.25	0.47	0.8	25.0	0.515	0.019	0.105	0.020	0.177	0.267	0.038	0.000	0.010	0.014	150	çakılı-tüf	
4 Özterler termal su kuyusu*	274750 4303710 65.0	5688	6.56	1.48	51.33	0.35	6.04	1.23	16.54	38.00	5.44	26.9	84.2	-	-	4.264	2.090	5.830	8.650	0.098	0.410	0.111	0.178	75	veri yok	
5 Ömer AF-7 termal su kuyusu*	276060 4302350 92.0	7186	7.61	1.85	65.25	3.10	5.09	1.32	14.95	53.00	5.86	36.5	87.3	-	-	0.126	2.450	8.838	9.320	0.018	0.000	0.151	0.176	210	152; marmar-çakılı-konglomerata	
6 Oruççebeli Af-9 termal su kuyusu*	276760 4302010 48.0	4299	6.18	1.56	31.41	1.46	9.61	2.63	16.63	26.00	3.29	12.7	69.6	-	-	3.398	1.220	2.696	5.560	0.416	0.000	0.069	0.176	320	185; bazalt-kumtaş+konglomerata	
7 Oruççebeli kuyusu*	277020 4301410 25.8	3634	5.98	3.53	26.54	1.34	7.86	2.47	13.31	22.00	2.87	11.7	69.5	0.203	0.008	0.162	0.980	0.882	4.500	0.048	0.000	0.048	0.170	vy	vy	
8 Denizgürne (DSİ kuyu no:45810)*	277797 4300347 19.2	604	6.50	5.69	2.28	0.19	2.22	1.03	3.48	1.75	0.42	1.8	39.8	2.727	0.005	2.18	0.080	-	-	0.483	0.018	0.000	0.14	0.058	100	30-100; çakılı-tüf-traktit
9 Sadıköy (DSİ kuyu no:31882)*	278293 4289920 24.3	1704	6.45	5.15	5.00	0.32	3.64	1.65	5.20	0.55	3.1	47.1	0.394	0.149	2.361	0.150	-	-	1.510	0.088	0.010	0.022	0.073	134	40-90; çakılı-aglomerata	
10 DSİ İstis. kuyu (DSİ kuyu no:34230)*	280400 4286800 22.3	1327	7.16	5.28	8.13	0.31	5.34	3.74	8.22	7.00	3.8	46.4	0.125	0.218	1.346	0.240	-	-	2.750	0.437	0.000	0.105	0.062	532	28-60; çakılı, 155-222; çakılı	
11 Saraydüzü (DSİ kuyu no:34429)*	280520 4303270 14.8	1039	6.96	5.71	4.22	0.32	4.49	0.95	6.17	3.55	0.42	2.6	42.3	0.632	0.010	0.058	0.180	-	-	0.935	0.000	0.000	0.118	0.047	80	20-75; çakılı
12 Büyükkalecik (DSİ kuyu no:33268)*	282086 4285243 14.9	202	7.78	3.08	0.52	0.04	1.02	0.33	1.31	0.15	0.49	0.6	27.1	0.084	0.000	0.062	0.020	-	-	0.178	0.008	0.000	0.029	0.014	193	25-190; çakılı-traktit
13 Bayatçık (DSİ kuyu no:42870)*	283105 4300299 11.8	1178	7.33	5.72	4.89	0.35	4.72	1.48	7.19	3.10	0.70	2.8	42.8	0.237	0.059	0.058	0.230	-	-	1.030	0.014	0.000	0.015	0.042	85	23-80; çakılı
14 Gazişli termal su kuyusu (G1)*	283300 4312520 65.0	3872	7.20	1.94	39.72	1.98	5.61	2.06	47.65	0.95	0.08	20.3	80.4	0.147	1.869	0.323	2.850	10.24	0.918	0.089	0.000	0.029	0.011	138	kuvardı-kalıstı	
15 Fethikey (DSİ kuyu no:30513)*	283946 4304925 14.1	974	7.34	5.8	6.45	0.33	2.68	0.82	8.74	1.45	0.36	4.9	62.6	0.798	0.030	0.020	0.270	0.588	0.550	0.020	0.000	0.014	0.012	80	30-75; kum-çakılı	
16 Sügütün (DSİ kuyu no:47854)*	288056 4285364 17.5	252	7.05	6.6	0.52	0.19	1.65	0.58	2.24	0.60	0.25	0.5	17.8	0.263	0.875	0.288	0.000	-	-	0.204	0.019	0.000	0.006	0.025	190	50-195; çakılı-kum
17 Çayırbağ (DSİ kuyu no:33039)*	288348 4304051 15.2	597	6.98	6.22	2.02	0.14	2.79	0.91	4.67	0.95	0.35	1.5	34.5	1.006	0.028	0.120	0.080	-	-	0.379	0.011	0.000	0.014	0.007	85	40-80; çakılı
18 Ataköy (DSİ kuyu no:15947)*	288358 4288384 14.0	346	7.20	6.68	0.49	0.17	2.02	0.91	2.85	0.30	0.45	0.4	13.6	0.501	0.824	0.016	0.000	-	-	0.194	0.012	0.000	0.007	0.009	205	30-187; kum-çakılı-tüf
19 KumartAŞ (DSİ kuyu no:40939)*	288483 4301975 15.1	537	7.30	7.02	1.17	0.08	3.19	0.91	4.39	0.65	0.27	0.8	22.0	1.083	0.097	0.584	0.020	-	-	0.235	0.035	0.000	0.132	0.008	86	20-80; çakılı
20 Salar (DSİ kuyu no:13324)*	288800 4285397 19.4	276	6.93	4.07	0.50	0.22	1.82	0.58	2.62	0.25	0.23	0.5	16.1	0.344	0.740	0.053	0.000	-	-	0.138	0.011	0.000	0.006	0.025	111	40-105; traktit, kum
21 Beyazı (DSİ kuyu no:13324)*	289897 4289563 15.9	1683	6.45	4.19	7.53	0.47	6.04	1.56	10.28	4.10	0.65	3.9	48.2	0.932	0.952	0.146	0.170	-	-	0.499	0.036	0.000	0.005	0.025	187	60-140; çakılı
22 Beyazı (DSİ kuyu no:51980)*	291449 4302607 14.9	518	7.79	7.02	0.69	0.04	3.17	0.99	3.74	0.50	0.28	0.5	14.1	1.056	0.428	0.965	0.020	-	-	0.169	0.042	1.300	0.010	0.006	110	32-95; çakılı
23 Susuz (DSİ kuyu no:49179)*	292171 4287021 16.5	577	7.36	9.02	1.04	0.12	2.74	1.89	4.39	0.65	0.51	0.7	17.9	0.893	0.749	1.192	0.040	-	-	0.268	0.060	1.750	0.030	0.016	158	40-152; çakılı
24 Nuribey (DSİ kuyu no:38720)*	293431 4282246 14.8	395	7.40	7.52	0.30	0.14	3.12	0.53	3.48	0.25	0.34	0.2	7.3	1.373	0.590	0.689	0.000	1.348	0.226	0.043	0.000	0.005	0.012	190	andezit-traktiandazıt-çakılı	
25 Çavdıraltı (DSİ kuyu no:32980)*	2969038 4290680 18.4	1357	6.55	3.98	2.89	0.31	7.19	2.59	9.44	1.30	1.26	1.3	22.3	0.000	0.146	0.170	-	-	0.499	0.036	0.000	0.005	0.025	153	35-145; çakılı	
26 Çalışlar (DSİ kuyu no:35599)*	299574 4302729 16.1	645	7.40	4.7	1.21	0.10	3.34	1.65	4.86	0.85	0.70	0.8	19.2	1.043	1.298	0.044	0.030	-	-	0.530	0.022	0.000	0.009	0.009	173	32-162; kum-çakılı
27 Gebeseler (DSİ kuyu no:41068)*	302266 4296451 14.6	612	7.45	5.56	1.94	0.18	2.64	1.56	5.72	0.50	0.37	1.3	30.7	0.598	0.067	0.091	0.050	-	-	0.373	0.012	0.000	0.010	0.021	70	20-65; çakılı-konglomerata-kireçtaşısı
28 Değirmendere (DSİ kuyu no:49758)*	307887 4279014 13.8	629	7.39	6.87	0.32	0.06	4.09	1.56	4.49	0.30	1.31	0.2	5.3	0.578	1.214	0.080	0.000	0.161	0.241	0.011	0.000	0.004	0.005	145	40-105; traktit-kum	
29 İskeçesar (DSİ kuyu no:30852)*	308074 4303917 21.5	3817	6.31	1.06	34.80	1.94	4.59	3.70	43.45	2.45	0.00	17.1	77.3	0.028	2.816	1.351	2.830	0.588	0.825	0.072	0.000	0.016	0.007	35	15-34; şist	
30 Değirmendere (DSİ kuyu no:15022)*	308789 4279852 16.5	486	7.39	7.85	0.30	0.06	3.54	0.82	3.55	0.20	1.02	0.2	6.3	0.415	0.532	0.306	0.030	0.367	0.209	0.021	0.000	0.004	0.003	192	40-130; çakılı-kireçtaşısı	
31 Heybeli termal su kuyusu (H12)*	311610 427950 60.0	3596	7.13	2.3	20.62	1.41	16.49	5.97	25.79	5.00	13.22	6.2	46.4	0.025	0.899	0.831	0.880	-	-	1.920	0.037	0.000	0.015	0.181	292	237-248; kalkışlı-trimerler
32 Kocabaş (DSİ kuyu no:19277)*	312772 4287286 16.1	546	7.42	7.63	1.62	0.08	2.82	0.82	4.11	0.75	0.45	1.2	30.4	1.491	0.021	0.329	0.020	0.018	0.362	0.000	0.000	0.007	0.011	91	48-62; kireçtaşısı	

P: pompaj, A: artezyen, -: analiz yapılmamıştır, vy: veri yok, *: SAO (sodium adsorbsiyon oranı)=Na/[((Ca+Mg)/2)^{0.5}] (derişimler meq/l), **: %Na=[Na/(Na+K+Ca+Mg)]*100 (derişimler meq/l)



Şekil 5. Termal ve soğuk kuyu sularının Piper diyagramı.
Figure 5. Piper diagram of the thermal and cool water wells.

nan alanda yer alan yeraltısularının ise, artan termal su katmasına bağlı olarak, Na-Cl ve Ca-CO₃ fasiyesleri arasında bir bileşime sahip oldukları anlaşılmaktadır. Öte yandan, çalışma alanının kuzeýinde yer alan ve yüksek karbondioksit içeriğine sahip olan Gazlıgöl ve İsehisar kuyu suları ise Na-CO₃ fasiyesinde yer almaktadırlar.

TERMAL SU ETKİSİNİN ALANSAL YAYILIMI

Soğuk yeraltısuları üzerinde termal su etkisinin alansal yayılımının belirlenmesi amacıyla sıcaklık, E_i, Na+K, Cl, Li ve B parametrelerine ait kontrur haritalarından yararlanılmıştır. Bu parametrelerin tümü termal sularda daha yüksek değerlere sahip olup, termal ve soğuk suların karış-

ması durumunda oldukça korunumlu davranışları varsayılmıştır. Cl ve Li gibi elementleri içeren minerallerin yüksek çözünürlüğe sahip olması ve yeraltı suyu sisteminde ısı üretken, ya da soğuran reaksiyonların mevcut olmayışı bu varsayımin başlıca gerekçelerini oluşturmaktadır. Öte yandan, gaz kaybına bağlı mineral çökeliği (örn.: CaCO_3) sonucunda El'de azalma ve iyon takas reaksiyonları ile akiferde tutulma sonucunda Na^+ - K^+ ve B derişimlerinde artma, ya da azalmanın meydana gelmesi mümkün olmakla birlikte, termal suların sözü edilen parametreler açısından sahip oldukları yüksek değerler dikkate alındığında, söz konusu süreçlerin önemli bir etkiye sahip olması beklenmemektedir.

Söz konusu parametrelere ilişkin kontur haritalarının çiziminde izotrop Krigging yöntemi kullanılmıştır. Bu yaklaşımda akifer içindeki üç boyutlu kütle ve enerji taşınımına etki eden faktörler ihmali edildiğinden, noktalı verilerden itibaren türetilen alansal konturlar ilgili parametrenin alansal değişiminin yarı-niceliksel göstergeleri olarak değerlendirilmelidir. Öte yandan, noktalı verilerin de her bir kuyuya ait derinlik boyunca debi ağırlıklı kompozit derişimler olduğu da dikkate alınmalıdır. Tüm bu sınırlamalara karşın, kontur haritaları ilgili parametrelere alansal değişimlerindeki genel eğilimin belirlenmesi açısından faydalıdır.

Aşağıdaki değerlendirmelerde her bir parametre için, bu parametrenin termal ve soğuk sularındaki değerleri ile yalnızca soğuk sularındaki değerleri içeren iki ayrı kontur haritası kullanılmıştır. Her bir parametreye ait termal+soğuk su kontur haritası ile soğuk su kontur haritasının karşılaştırılması yoluyla termal suların soğuk sular üz-

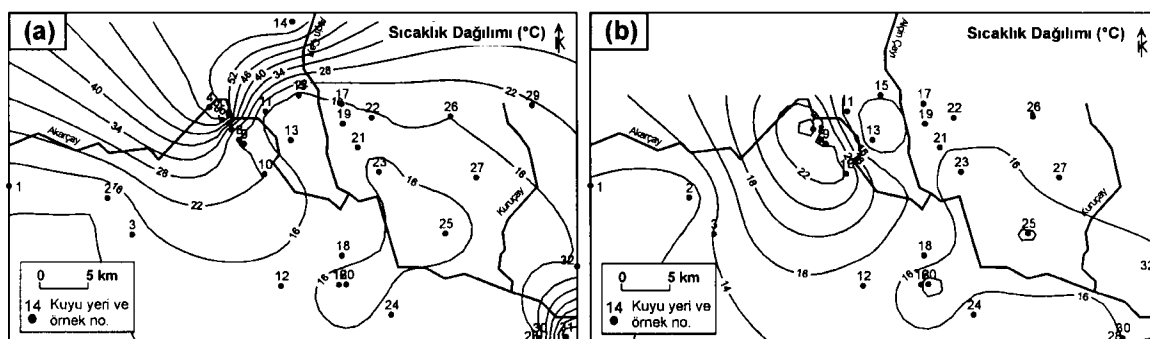
rindeki etkisi alansal olarak görülebilmektedir. Yalnızca soğuk sular için hazırlanan kontur haritalarında sıcaklığı 25°C 'nin altında bulunan su noktaları kullanılmıştır. Bölgedeki jeotermal ısı akısının normalin üzerinde oluşu nedeniyle, soğuk sular için havzanın ortalama hava sıcaklığının (12°C) üzerinde ve 25°C 'lik bir üst sınır değeri seçilmiştir.

Sıcaklık dağılımı

Inceleme alanında jeotermal ısı gradyanındaki yerel artışa bağlı olarak, termal su kaynak ve kuyuları çevresinde oldukça yüksek sıcaklıklar gözlenmektedir (Şekil 6a). Jeotermal gradyanın artışı ve termal suların soğuk su akiferine karışmasına bağlı olarak termal sulara yakın soğuk sular da nispeten yüksek sıcaklıklar gözlenmektedir (Şekil 6b). Termal sulara yakın soğuk su kuyularının (örn.: 7, 8, 9, 10 ve 25 no.lu kuyular) bulunduğu sınırlı bir alanda, bölgedeki yüksek ısı gradyanı nedeniyle diğer soğuk su kuyularına oranla yüksek sıcaklıklar (19.3 - 25.8°C) ölçülmektedir. Diğer yandan, alanın batısında yer alan kuyu sularında sıcaklık 10.6 - 14.2°C arasında değişmekte olup, bu kesimde termal su karışımının ve yüksek ısı gradyanın etkili olmadığı anlaşılmaktadır.

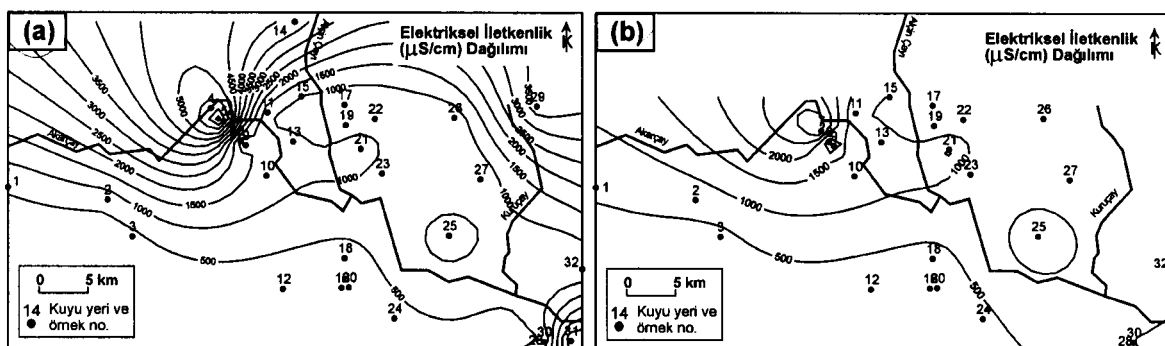
Elektriksel iletkenlik dağılımı

Termal sular çevresindeki özgül (25°C 'ye uyarlanmış) El değerleri de, sıcaklık dağılımı ile benzerlik göstermektedir. İçerdikleri yüksek miktarındaki çözünmüş maddeye bağlı olarak termal sularda yüksek El değerleri ölçülmüştür. Sahada ölçülen en yüksek El değeri 7186 mikroS/cm ile 5 no.lu AF-7 termal su kuyusuna aittir (Şekil 7a).



Şekil 6. a) Termal ve soğuk ve b) sadece soğuk su kuyuları için sıcaklık dağılımı.

Figure 6. Distribution of temperature for a) thermal and cool, and b) only cool water wells.



Şekil 7. a) Termal ve soğuk ve b) sadece soğuk su kuyuları için elektriksel iletkenlik dağılımı.

Figure 7. Distribution of electrical conductivity for a) thermal and cool, and b) only cool water wells.

Termal su kuyularından uzakta, alanın batısında yer alan kuyu sularında El 365-692 mikroS/cm arasında değişirken, yakındaki soğuk su kuyularındaki El değerleri 974-3634 mikroS/cm gibi yüksek değerlere ulaşmaktadır (Şekil 7b). Bu durum, termal sulara yakın soğuk sulardaki yüksek El değerlerinin bu alanda ısı akışının yanı sıra, soğuk sulara doğru olan bir kütle akısından da kaynaklandığını göstermektedir.

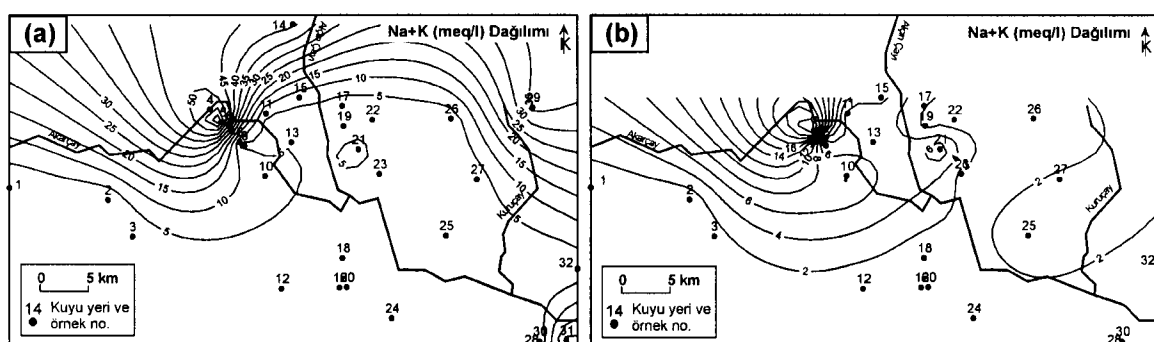
Na+K dağılımı

Batıdaki termal su kuyuları ile kuzeydoğu'da bulunan İscehisar maden suyu (29) çevresinde Na+K derişimi yüksek değerler almaktadır (Şekil 8a). Na+K derişimi açısından Akarçay'ın güney bölümünde kalan kuyu sularında önemli bir termal su katkısı gözlenmezken, özellikle Akarçay'ın kuzeyi ve Alçın Çayı'nın batısında yer alan, termal su kaynak ve kuyularının yoğunlaştiği bölgedeki soğuk su kuyularında bu etki belirlenmişmektedir. Bu durum, özellikle 8, 9, 11, 15, 21 no.lu soğuk su kuyularının termal su ka-

rışımından etkilendiklerine işaret etmektedir (Şekil 8b).

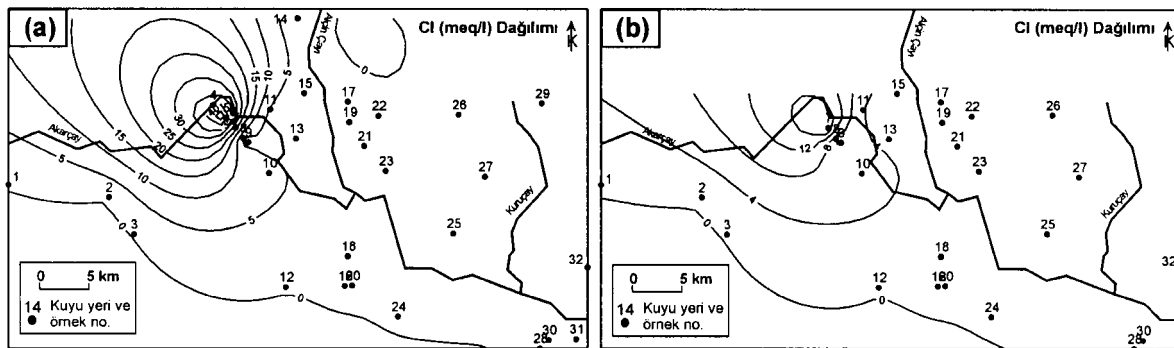
Cl dağılımı

Cl derişimi ile oluşturulan kontur haritası, Na+K derişime göre oluşturulan harita ile benzerlik göstermektedir. Na+K kontur haritasında olduğu gibi, Cl kontur haritasında da Akarçay'ın güneyinde kalan alanda yüksek Cl derişimlerine rastlanmamaktadır. Buna karşın, özellikle batıda yer alan termal suların çevresinde oldukça yüksek Cl derişimleri (~50 meq/l) gözlenmektedir (Şekil 9a). Sadece soğuk sular için oluşturulan haritada (Şekil 9b), termal su kökenli Cl'e çok yerel olarak rastlanmaktadır. Bölgede sadece termal sulara çok yakın konumda bulunan (örn.: 6 no.lu AF-9 termal su kuyusuna 650 m uzaklıktaki) 7 no.lu Oruçoğlu soğuk su kuyusunda (22 meq/l) ve 9 no.lu Sadıkbeyp soğuk su kuyusunda yüksek Cl derişimleri (5.2 meq/l) gözlenmektedir. Bu durum; örtü kayaçlar içindeki kırık ve çatlaklar boyunca, ya da bu birimler içindeki yüksek



Şekil 8. a) Termal ve soğuk ve b) sadece soğuk su kuyuları için Na+K dağılımı.

Figure 8. Distribution of Na+K for a) thermal and cool, and b) only cool water wells.



Şekil 9. a) Termal ve soğuk ve b) sadece soğuk su kuyuları için Cl dağılımı.
Figure 9. Distribution of Cl for a) thermal and cool, and b) only cool water wells.

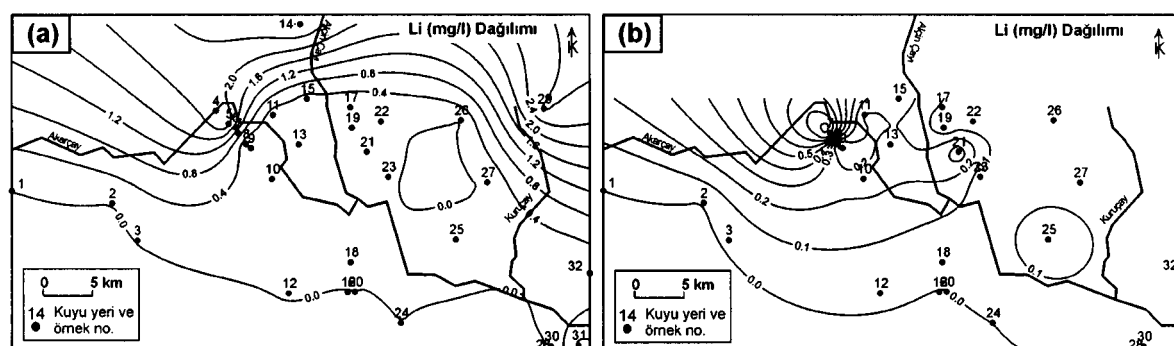
hidrolik iletkenliğe sahip seviyeler aracılığı ile termal su akiferinden soğuk su akiferine doğru bir kütte taşınımının olduğunu açıkça göstermektedir.

Li dağılımı

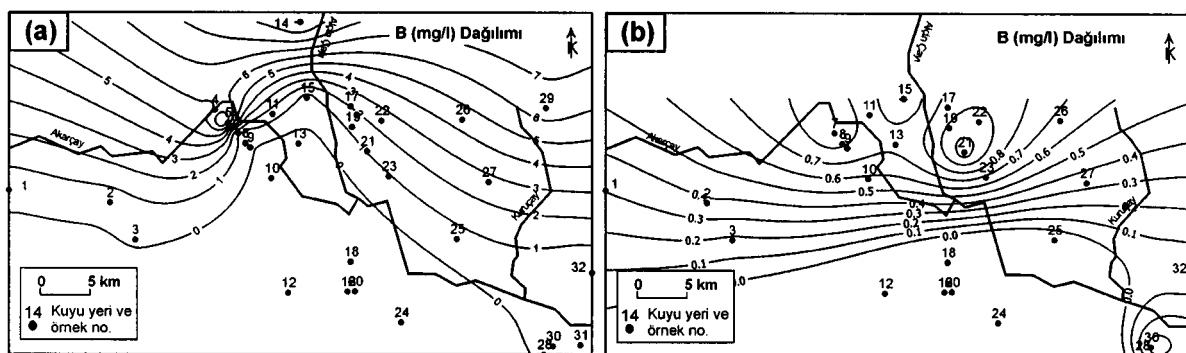
Li termal kökenli sulara özgü karakteristik hidrokimsal bileşenlerden birisi olup, termal suların Li içeriği genellikle 2.0-5.0 mg/l arasında değişmektedir (Hem, 1986). İnceleme alanındaki termal sularda Li içeriğinin 0.9 ile 2.9 mg/l arasında değiştiği belirlenmiştir. Li derişimi özellikle termal sular ve yakın çevresindeki soğuk sular da (örn.: 7 no.lu soğuk su kuyusu) yüksek değerler göstermektedir (Şekil 10a). Termal su çıkışının ve üretiminin yoğun olduğu alanların dışında kalan bölgelerdeki soğuk su kuyalarında ise, termal su katmasına işaret eden belirgin Li derişim anomalilerine rastlanmamaktadır (Şekil 10b). Bu durum, diğer parametrelerin alansal değişimi ile de uyumludur.

B dağılımı

Termal sular dikkate değer düzeye B içerebilmektedirler (Hem, 1986). Bitkiler üzerindeki zehirleyici etkisi nedeniyle 1 mg/l'nin üzerinde bor derişimine sahip olan sular sulamaya uygun değildirler. Termal ve soğuk sular kullanılarak oluşturulan kontur haritasında (Şekil 11a), termal sular çevresinde B miktarının yüksekliği dikkat çekmektedir. Diğer yandan, yalnızca soğuk su derişimleri kullanılarak oluşturulan haritadan (Şekil 11b) Beyazı kuyusu (21) dışında, bitkiler için sınır değerinin aşılması görülmektedir. Bu na karşın, B'a hassas bazı ürünler için uzun dönemde kullanılacak sulama suyunda B derişiminin 0.750 mg/l'yi aşmaması önerilmektedir (USEPA, 1976; Fetter, 1980). Bu durumda, genel olarak 7, 23, 26 no.lu kuyuları izleyen hattın kuzeyinde yeraltısu B içeriğinin sınır değer açısından riskli olabileceği anlaşılmaktadır (bkz. Şekil 11b).



Şekil 10. a) Termal ve soğuk ve b) sadece soğuk su kuyuları için Li dağılımı.
Figure 10. Distribution of Li for a) thermal and cool, and b) only cool water wells.



Şekil 11. a) Termal ve soğuk ve b) sadece soğuk su kuyuları için B dağılımı.
Figure 11. Distribution of B for a) thermal and cool, and b) only cool water wells.

SULAMA VE İÇME-KULLANMA SUYU KALİTESİNİN ALANSAL DEĞİŞİMİ

İnceleme alanındaki termal ve soğuk su kuyularından elde edilen yeraltısuunun sulama, içme ve kullanma amaçlarına uygun olup olmadıkları çeşitli standart ve ölçütler göre değerlendirilmiştir (Çizelge 2).

Sulama suyu kalitesi

Sulama suyu kalitesi açısından sular Na, SAO, Eİ, Cl, SO_4 , iz element vb. içeriklerine göre incelenmiştir. Bu değerlendirmelere göre, tüm termal suların özellikle %Na ve SAO değerleri açısından sulama amaçlı olarak kullanılması sakıncalı sular grubuna girmektedir. Benzer şekilde termal su girişiminden etkilenen Oruçoğlu soğuk su kuyusunun da (7) sulama amaçlı olarak kullanılması uygun değildir. Öte yandan, termal su girişiminden etkilenen 9, 15 ve 21 no.lu soğuk su kuyularının da %Na değerleri sulama suyu üst sınır değerlerine oldukça yakın olup, risk oluşturabilecekleri anlaşılmaktadır. B derişimleri açısından 21 ve 24 no.lu suların, Cl derişimleri açısından 9 ve 10 no.lu suların üst sınır derişim değerlerini aşıklarından sulama suyu olarak kullanılması uygun değildir. Genel olarak, Afyon'un kuzeybatısında bulunan termal sular çevresindeki soğuk suların bir bölümü ya bir/birkaç parametre açısından sulama suyu kriterlerine uymamakta, ya da parametrelerin izin verilebilir üst sınırlarına çok yakın değerler almaktadır. Soğuk suların sulama suyu kullanımında işaretledikleri riskler termal su üretim ve kaynak bölgelerinden uzaklaşıldıkça azalmaktadır.

İçme ve kullanma suyu kalitesi

İnceleme alanındaki termal suların tümü pek çok parametre (Eİ, Na, K, SO_4 vb.) açısından içilmeye ve kullanılmaya uygun değildir. Özellikle termal su kuyularına yakın soğuk su kuyularında da (örn.: 7, 9, 10, 15, 21 ve 25 no.lu kuyular) suyun bir, ya da birkaç parametre (Na, K, $\text{NH}_3\text{-N}$ vb.) açısından kullanımına uygun olmadığı görülmektedir. Diğer yandan, termal suların uzakta bulunan bazı soğuk su kuyularında da (16, 18, 20, 24, 26, 28 ve 30 no.lu kuyular), olasılıkla taramsal faaliyetlerden kaynaklanan kirlenme nedeniyle $\text{NH}_3\text{-N}$ derişimleri nispeten yüksektir ve içme-kullanma suyu açısından bir risk oluşturmaktadır.

SONUÇLAR VE ÖNERİLER

Afyon-Akarçay Havzası'nda Ömer-Gecek, Gazlıgöl ve Heybeli jeotermal alanlarında termal su katmasına bağlı olarak soğuk yeraltısularında oluşan kirlenmenin yayılım ve boyutlarının belirlenmesini amaçlayan bu çalışmada özellikle, termal su kaynak ve üretim kuyularına yakın bazı soğuk su kuyularında jeotermal kökenli kirlenmenin mevcut olduğu belirlenmiştir.

Su kaynaklarının sınırlı olduğu bu bölgede mevcut yeraltısu kalitesinin korunması büyük önem taşımaktadır. Bu nedenle, soğuk yeraltısu üretime yönelik mevcut ve yeni kuyuların, termal su girişimini hızlandırmayacak biçimde açılması gerekmektedir. Söz konusu amaç doğrultusunda termal ve soğuk su akiferleri arasındaki dinamik ilişkinin sayısal modeller aracılığı ile incelenmesi ve yeni soğuk su kuyularının

Çizelge 2. Kuyu sularının içme, kullanma ve sulama suyu açısından değerlendirilmesi.
Table 2. Evaluation of the well waters with respect to drinking, domestic use and irrigation water quality.

X: içme ve kullanma suyuna uygun değil (izin verilen sınır değerinden) ; +: içme ve kullanma suyuna uygun (izin verilen sınır değerlerini arasında) ; +x: içme ve kullanma suyuna izin verilen sınır değerleri arasında ama üst sınıra çok yakın (-65) ; : parametrenin analizi yapılmamıştır. (1): TSE (1997)'ye göre 1.inci sınıf olarak tarif edilen "Kaynak Suları Dışında İçme ve Kullanma Suları" için belirtilen sınır değerleri baz alınmıştır; (1a): sulama suları sınıflama kriterleri (T.C. Resmi Gazete, 7 Ocak 1991); (2): sınır belirtilmemiştir ; (3): sulama suyu açısından, SAR<6 olmalıdır (Mc Neely vd., 1979) ; (4): sulama suyu açısından Wilcox değerlendirmesi ; (5): içme suyu açısından $\text{NO}_2^{+}+\text{NO}_3^{-}-\text{N}<10$, $\text{NH}_3-\text{N}<0.5$, $\text{Cr}<0.05$, $\text{Pb}<0.05$, $\text{Cd}<0.005$ mg/l olmalıdır (Mc Neely vd., 1979) ; (6): sulama suyu açısından $\text{Li}<2.5$, $\text{B}<1$, $\text{Cl}<150$ mg/l olmalıdır (Mc Neely vd., 1979)

bu modellerin öngörülerini doğrultusunda açılmazı uygun olacaktır. Diğer yandan, soğuk su kuyularında belirlenen jeotermal kökenli kirlenmenin oluşum mekanizması konusunda yeterli bilgiler mevcut değildir. Söz konusu kirlenmenin termal ve soğuk su akiferleri arasındaki doğal etkileşimin yanı sıra, termal su kuyularının hatalı teçhizinden ve/veya doğru teçhiz edilmiş kuyu cidarlarının zamanla yıpranması ile oluşan kaçaklardan kaynaklanması da mümkün görülmektedir. Bu soruların yanıtlanması için ayrıntılı araştırmaların yapılması gerekmektedir. Teçhizleri yıpranmış termal su kuyularında teçhiz yenilenmeli, bunun mümkün olmadığı durumlarda kuyuların tüm kesitleri boyunca tıkanarak yalıtlımları gereklidir.

KATKI BELİRTME

Birinci yazarın doktora tezi çalışmasının bir bölümünü içeren bu araştırma “Akarçay (Afyon) Havzasında Jeotermal Kökenli Yüzeysuyu ve Yeraltısu Kirliliğinin Araştırılması” başlıklı, 01.T07.604.001 no.lu “Lisansüstü Öğrenim Araştırma Projesi” kapsamında Hacettepe Üniversitesi Araştırma Fonu tarafından maddi olarak desteklenmiştir. DSİ Genel Müdürlüğü adına Hacettepe Üniversitesi Uluslararası Karst Su Kaynakları Uygulama ve Araştırma Merkezi (UKAM) tarafından yürütülen “Akarçay Havzası Hidrojeolojisi ve Yeraltısu Akım Modeli” adlı proje çalışması kapsamında saha çalışmalarına lojistik destek sağlanmıştır. Yazarlar, yukarıda belirtilen kurum ve kuruluşlara teşekkür ederler.

KAYNAKLAR

APHA (American Public Health Association), AWWA (American Water Works Association) and WPCF (Water Pollution Control Federation), 1989. Standard Methods for the Analysis of Water and Waste Water. APHA publication, 17th Edition, Washington DC, 2005, 1133 pp.

Batık, H., Koçak, A., Akkuş, İ., Şimşek, Ş., Mertoğlu, O., Dokuz, İ., and Bakır, N., 2000. Geothermal energy utilisation development in Turkey (present geothermal situation and projections). Proceedings of the World Geothermal Congress, E. Iglesias, D. Blackwell, T. Hunt, J. Lund, S. Tamanyu and K. Kimbara (eds.), Kyushu-Tohoku, Japan, 85-91 pp, (CD-ROM).

Demirkol, C., Sipahi, H., Çiçek, S., Barka, A. ve Sönmez, Ş., 1977. Sultandağının stratigrafisi ve jeolojik evrimi. MTA Derleme No: 6305, 86 s (yayımlanmamış).

Doğdu, M.Ş., 2001. Akarçay (Afyon) Havzası'nda jeotermal kökenli yüzeysuyu ve yeraltısu kirliliğinin araştırılması. Doktora Tezi, Hacettepe Üniversitesi, Fen Bilimleri Enstitüsü, Ankara, 143 s (yayımlanmamış).

Doğdu, M.Ş. ve Bayarı, C.S., 2002. Akarçay Havzası'nda (Afyon) jeotermal kökenli kirlenme: 1. Akarçay Nehri'nde su ve sediman kirliliği. Yerbilimleri, 25, 21-33.

DSİ, 1977. Akarçay Havzası hidrojeolojik etüt raporu. T.C. Enerji ve Tabii Kaynaklar Bakanlığı, DSİ Genel Müdürlüğü, Ankara, 64 s.

Erişen, B., Akkuş, İ., Uygur, N. ve Koçak, A., 1996. Türkiye Jeotermal Envanteri. MTA Genel Müdürlüğü, Ankara, 480 s.

Fetter, C.W., 1980. Applied Hydrogeology. Charles E. Merrill Publ. Co., 488 pp.

Hem, J.D., 1986. Study and interpretation of the chemical characteristics of natural water. 3rd Edition, US Geological Survey Water-Supply Paper 2254, 264 pp.

Mc Neely, R.N., Neimanis, V.P., and Dwyer, L., 1979. Water Quality Sourcebook: A Guide to Water Quality Parameters. Inland Waters Directorate, Water Quality Branch, Ottawa 88 pp.

Metin, S., Genç, Ş. ve Bulut, V., 1987. Afyon ve dolayının jeolojisi. MTA Derleme No: 8103, 74 s (yayımlanmamış).

Metin, S., Genç, Ş., Bulut, V., Ölmez, M., Kılıç, İ., Akıncı, A., Umut, M. ve Kurt, Z., 1988. Bolvadin (Afyon) - Yunak (Konya) dolayının jeolojisi. MTA Derleme No: 8522, 78 s (yayımlanmamış).

Mutlu, H., 1996. Geochemical assessment of thermal waters from the Afyon Geothermal Area: geothermometry applications and fluid-mineral equilibria. Ph.D. Thesis, Middle East Technical University, Graduate School of Natural and Applied Sciences, Ankara, 169 pp (unpublished).

Öktü, G., Kara, İ. ve Önder, İ., 1997. Afyon ili'nde yer alan Ömer-Gecek-Uyuz Hamamı, Alaplı-Kızık Hamamı ve Gazlıgöl jeotermal enerji sahalarının detay etüdü. MTA Derleme No: 10097, 41 s (yayımlanmamış).

Öztürk, E.M., Dalkılıç, H., Ergin, A. ve Avşar, Ö.P., 1987. Sultandağı güneydoğusu ile Anamasdağı dolayının jeolojisi. MTA Derleme No: 8191, 140 s (yayımlanmamış).

T.C. Resmi Gazete, 1991. Su Kirliliği Kontrolu Yönetmeliği Teknik Unsurlar Tebliği. 7.Bölüm: Arıtlımlı Atıksuların Sulamada Kullanılma-

- si, 7 Ocak 1991 tarih ve 20748 sayılı Resmi Gazete, 31-39.
- Tamgaç, Ö.F., Güner, A., Sarp, S. ve Yıldırım, N., 2000. Afyon-Ömer-Gecek sahasının koruma alanları, test ve potansiyel değerlendirme raporu. MTA Derleme No: 10388, 66 s (yayınlanmamış).
- Tezcan, L., 1998. Revize hidrojeolojik etütler kapsamında Akarçay Havzası hidrojeolojisi ve yeraltısu akım modeli projesi birinci ara raporu. Hacettepe Üniversitesi Uluslararası Su Kaynakları Uygulama ve Araştırma Merkezi, 74 s.
- Tezcan, L., 1999. Akarçay Havzası hidrojeolojisi ve yeraltısu akım modeli ikinci ara raporu. Hacettepe Üniversitesi Uluslararası Su Kaynakları Uygulama ve Araştırma Merkezi, 191 s.
- Tezcan, L., 2001. Kişisel görüşme. Hacettepe Üniversitesi, Jeoloji Mühendisliği Bölümü, Hidrojeoloji Mühendisliği Anabilim Dalı, Ankara.
- TSE (Türk Standardları Enstitüsü), 1997. TS266 Su-lar-İçme ve Kullanma Suları Standardı. Birinci Baskı, 25 s.
- Umut, M., Karabiyikoğlu, M., Sarac, G., Bulut, V., Demirci, A.R., Erkan, M., Kurt, Z., Metin, S. ve Özgönül, E., 1987. Tuzlukçu - İlgin - Doğanhisar - Doğanbey (Konya İli) ve dolayının jeolojisi. MTA Derleme No: 8246, 39 s (yayınlanmamış).
- USEPA (United States Environmental Protection Agency), 1976. Quality Criteria for Water. Washington, D.C., U.S. Government Printing Office, 256 pp.